

LANCÉ

Servicio Clima Espacial

Reporte Semanal

<http://www.sciesmex.unam.mx>



AEM
AGENCIA ESPACIAL MEXICANA



CENAPRED
CENTRO NACIONAL DE
PREVENCIÓN DE DESASTRES

CONDICIONES DEL SOL

Regiones Activas (RA): 1

Hoyos coronales: 0. Se registró un hoyo coronal a bajas latitudes.

Fulguraciones solares: No se registraron eventos.

Eyecciones de masa coronal: Se registraron dos eyecciones lentas y colimadas.

CONDICIONES DEL MEDIO INTERPLANETARIO

Se registraron dos regiones de interacción de corrientes, con velocidades moderadas. No produjeron actividad geomagnética importante.

CONDICIONES DE MAGNETÓSFERA

Índice K local: no se registraron perturbaciones significativas.

Índice Dst: no se registraron perturbaciones significativas.

CONDICIONES DE LA IONOSFERA

No se registraron perturbaciones ionosféricas.

CONDICIONES DE RAYOS CÓSMICOS SOBRE MÉXICO

No se detectaron cambios significativos en el flujo de partículas.

PRONÓSTICOS

Viento solar:

- Se pronostica una velocidad del viento solar promedio entre 350 y 600 km/s, sin incrementos significativos en la densidad del plasma. No se espera la llegada de alguna EMC.

Fulguraciones solares:

- No se esperan fulguraciones para los siguientes días y la región activa 2755 está por ocultarse detrás del limbo solar.

Tormentas ionosféricas:

- No se esperan perturbaciones en los próximos días.

Tormentas geomagnéticas:

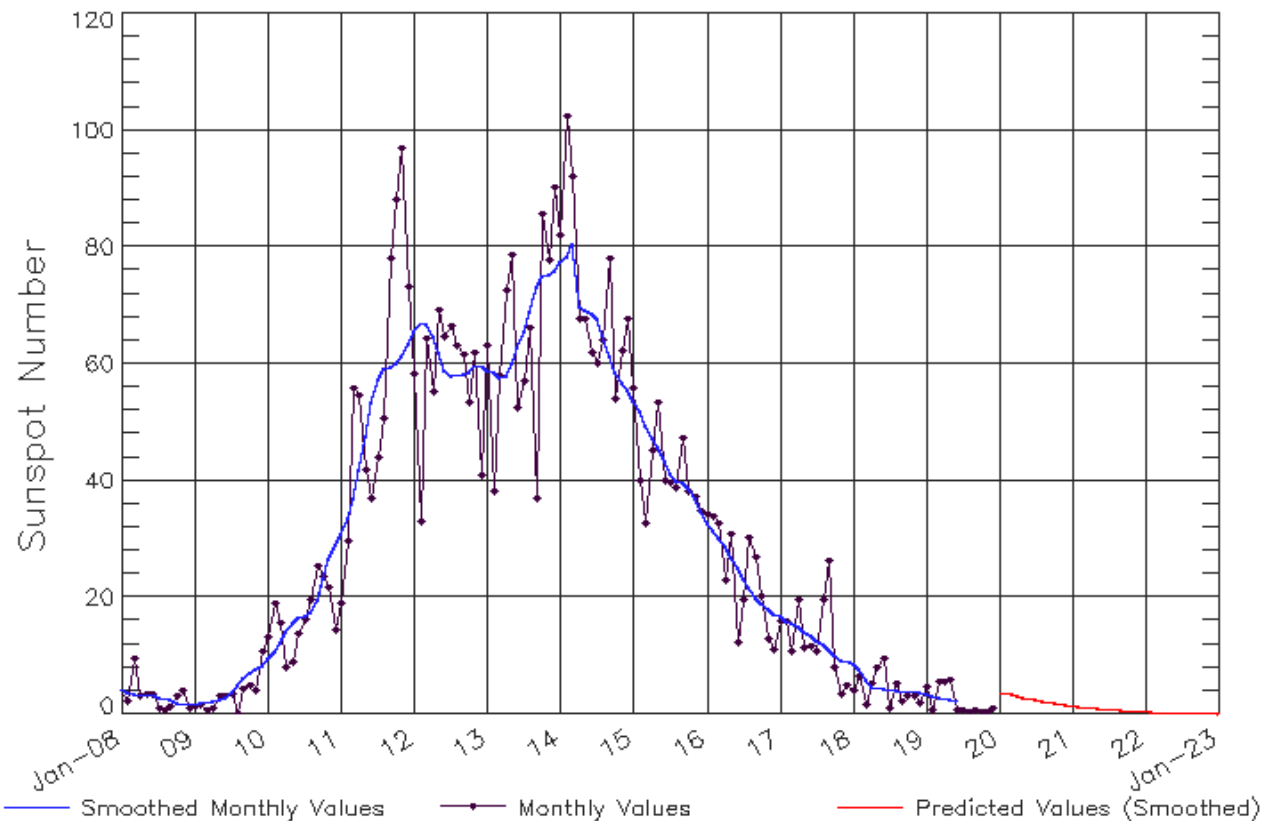
- No se esperan perturbaciones geomagnéticas en los próximos días.

Tormentas de radiación solar:

- Debido a la poca actividad, no se esperan tormentas en los siguientes días.

Ciclo de manchas solares y la actividad solar

ISES Solar Cycle Sunspot Number Progression
Observed data through Dec 2019



Updated 2020 Jan 6

NOAA/SWPC Boulder, CO USA

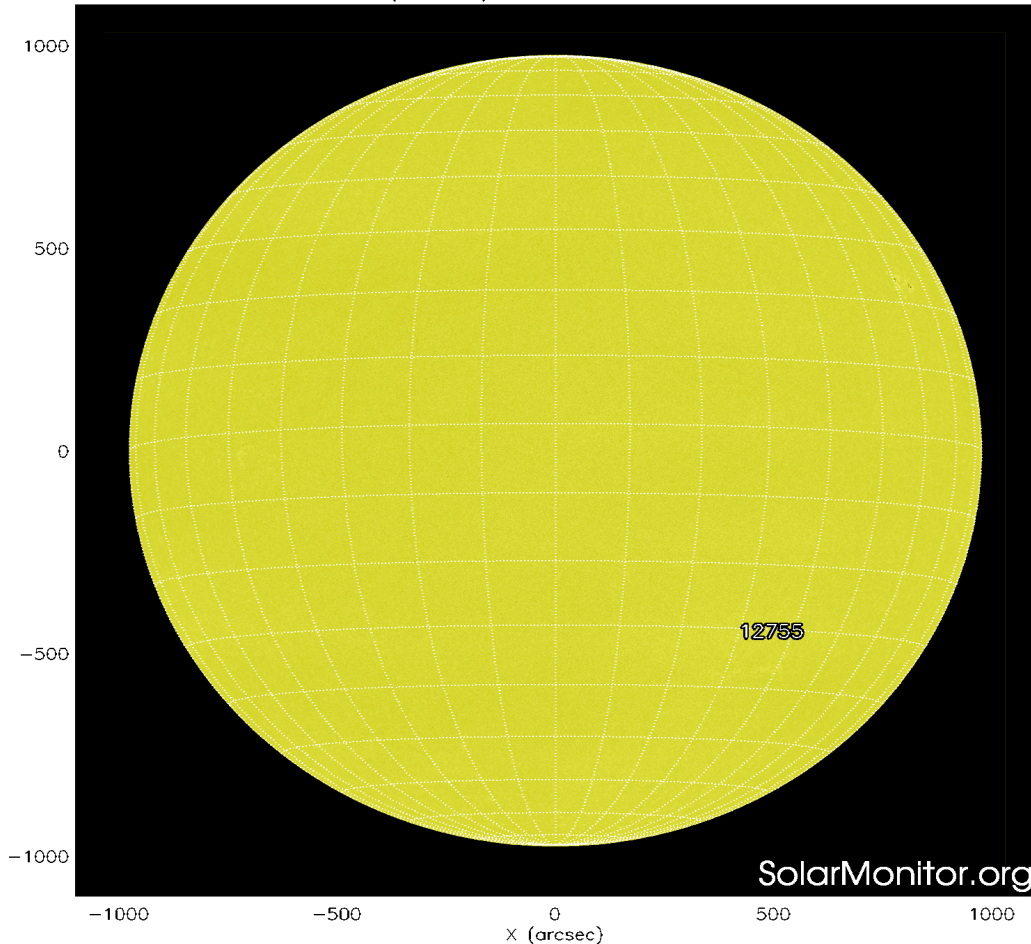
<http://www.swpc.noaa.gov/products/solar-cycle-progression>

La figura muestra el conteo del número de manchas solares desde enero del 2008.

Entre más manchas solares presente el Sol, es mayor la posibilidad de que ocurra una tormenta solar.

Estamos en el mínimo de manchas solares del ciclo 24 y el comienzo del ciclo 25.

SDO HMI (6173 Å) 9-Jan-2020 19:34:29.500

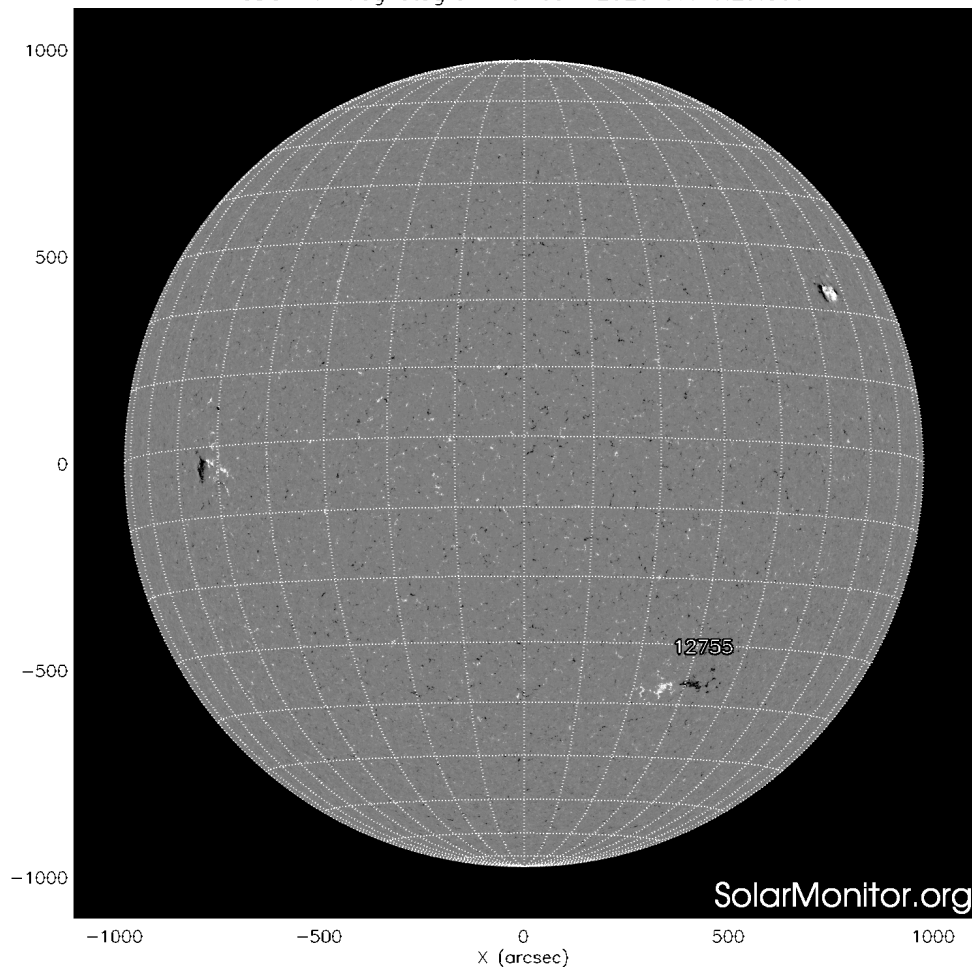


La fotosfera es la zona “superficial” del Sol, donde aparecen las manchas solares. Regiones oscuras formadas por material más frío que sus alrededores y que contienen intensos campos magnéticos. Las manchas solares están relacionadas con la actividad solar.

La imagen de la fotosfera del 9 de enero muestra la región activa 2755 en el limbo solar.

<http://solarmonitor.org>

SDO HMI Magnetogram 9-Jan-2020 07:46:29.800



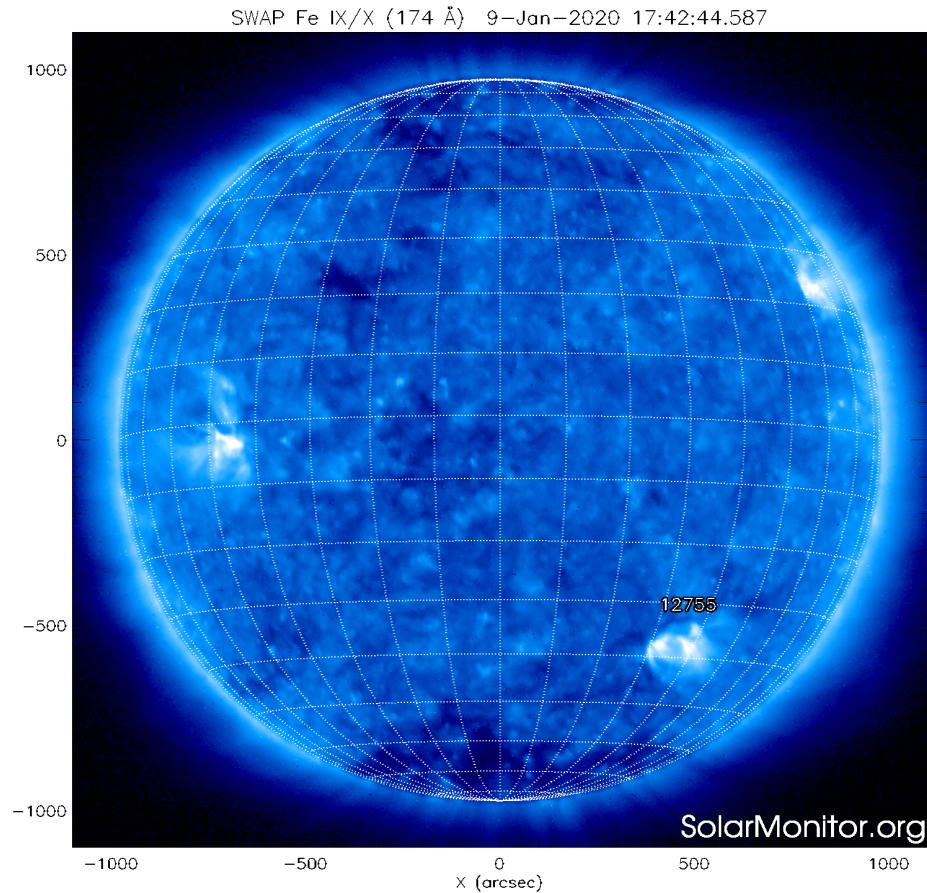
Un magnetograma solar permite identificar las regiones de intensos campos magnéticos solares. En general, estos campos magnéticos están asociados a manchas solares.

Las regiones de color blanco (negro) son zonas por donde salen (entran) líneas de campo magnético, correspondientes a polaridad positiva (negativa).

La imagen de la fotosfera, del 9 de enero de 2020, muestra la región activa 2755 con una polaridad que correspondiente al nuevo ciclo solar 25, que inició hace dos semanas.

<http://solarmonitor.org>

Atmósfera solar y regiones activas



El Sol en rayos X suaves (174 Å). La emisión de Fe IX y X revela la estructura magnética en la región de la atmósfera solar llamada corona solar que se encuentra a 630,000 K.

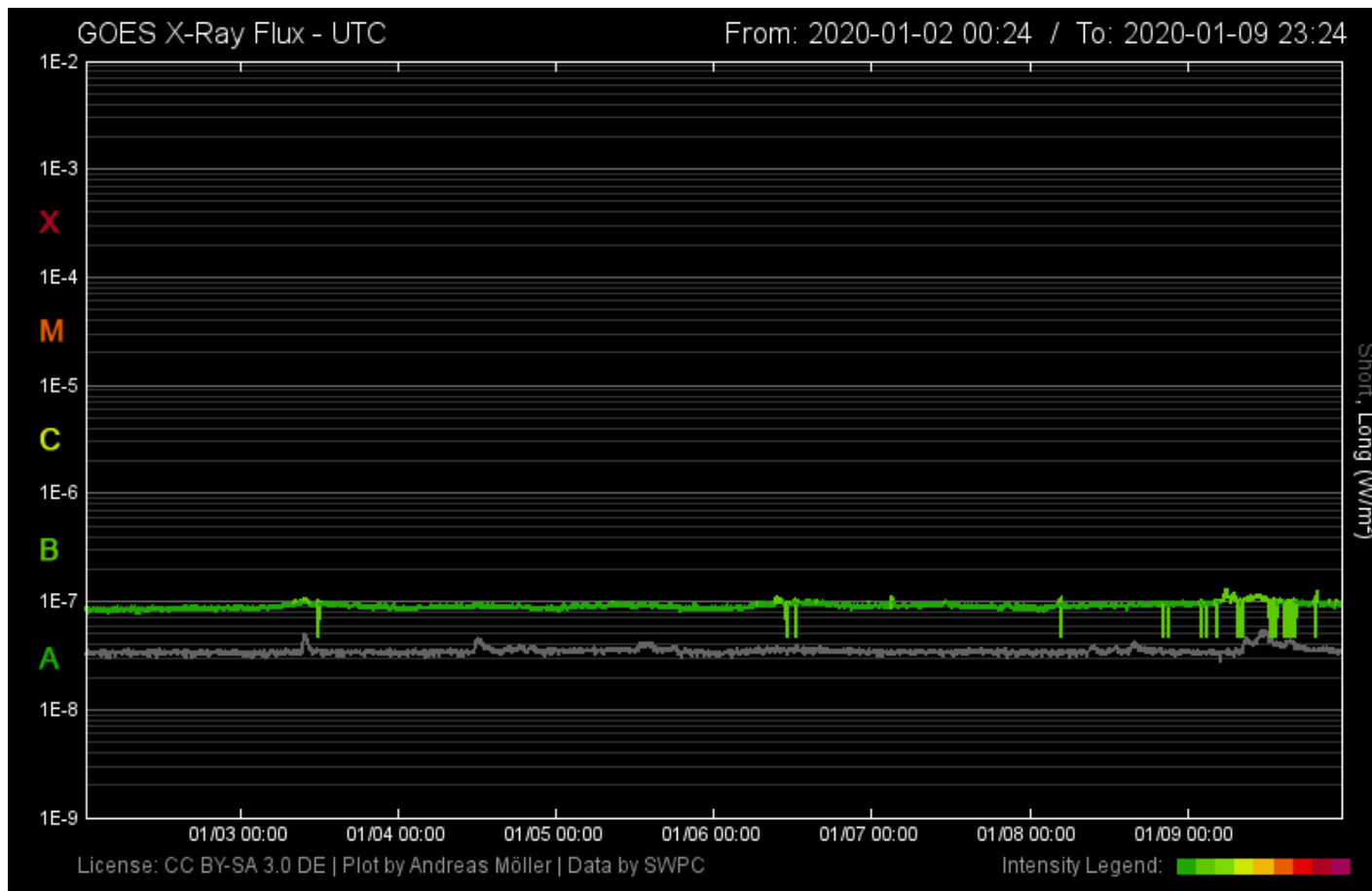
Las regiones activas (zonas claras) son los lugares donde se presentan los fenómenos de actividad solar más importantes. Las regiones activas están regularmente asociadas a las manchas solares.

La imagen del 9 de enero muestra la región activa 2755.

<http://solarmonitor.org>

Fulguraciones solares del 3 al 9 de enero de 2020

Flujo de rayos X solares detectado por los satélites GOES.
No se registró ninguna fulguración tipo C, M ó X.



Imágen: https://www.polarlicht-vorhersage.de/goes/2020-01-02_002400_2020-01-09_232400.png

Medio interplanetario: Región de interacción de viento solar

Del 3 al 9 de enero se registraron dos regiones de interacción (área sombreada 1 y 2 en imagen 2). EN ambos casos el origen del viento solar rápido es un hoyo coronal localizado en latitudes bajas de polaridad negativa (ver imagen 1).

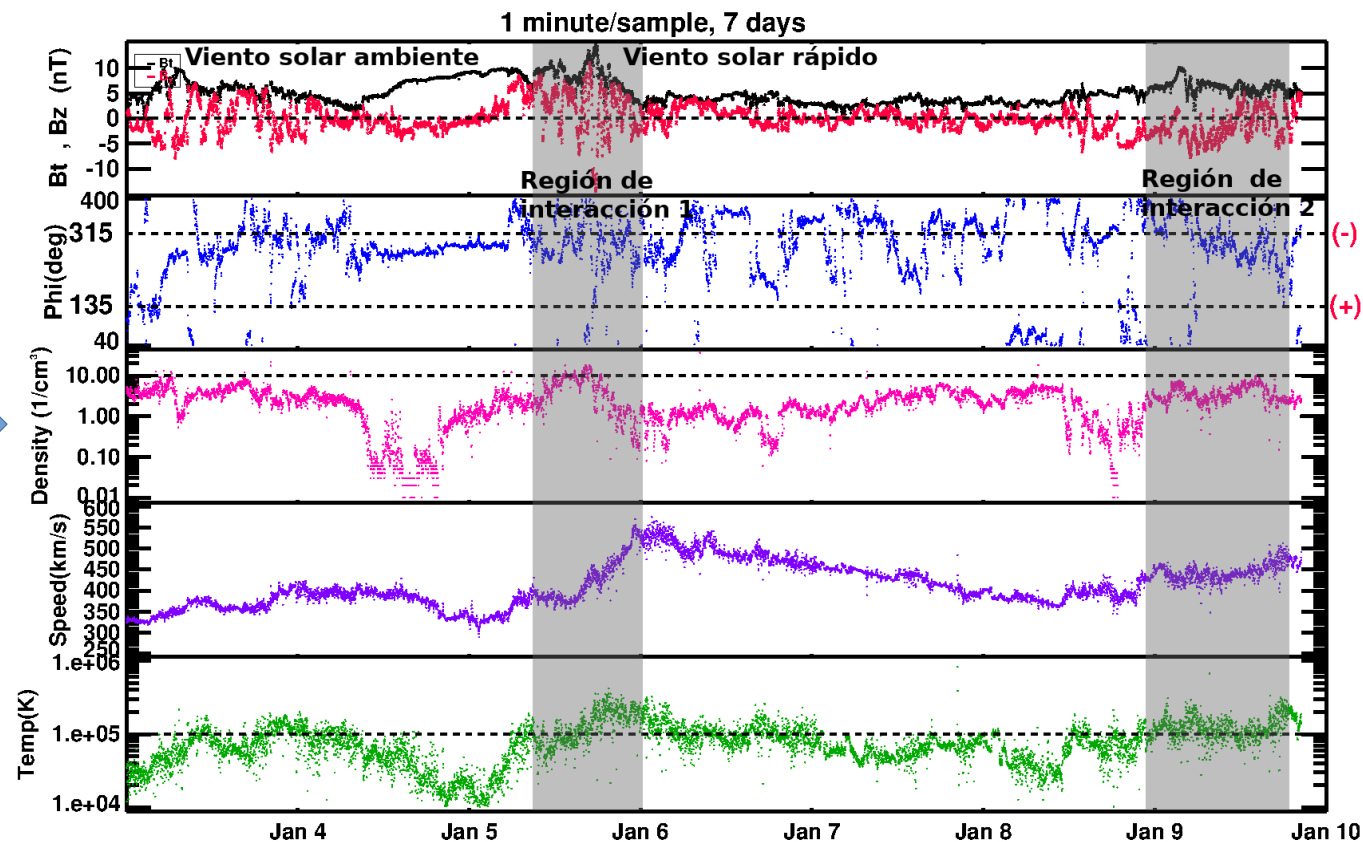
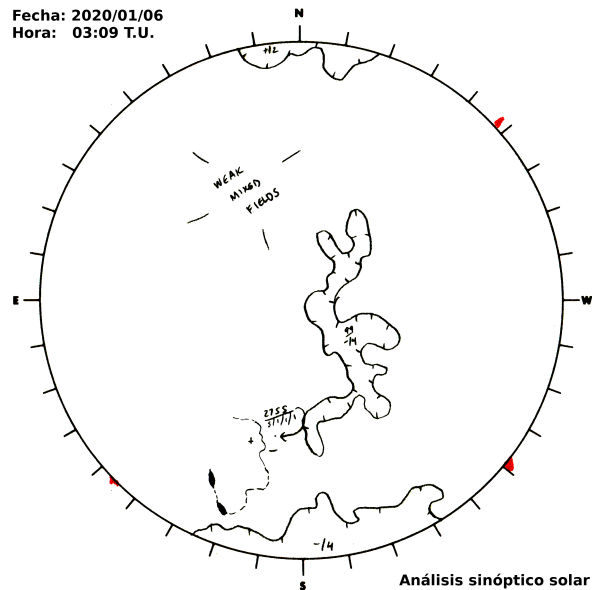


Imagen 1: ftp://ftp.swpc.noaa.gov/pub/synoptic_maps/

Imagen 2: <http://www.swpc.noaa.gov/products/real-time-solar-wind>

Eyecciones de Masa Coronal (EMCs): *observación de coronógrafos*

>> Enero 6, 00:36 h⁺

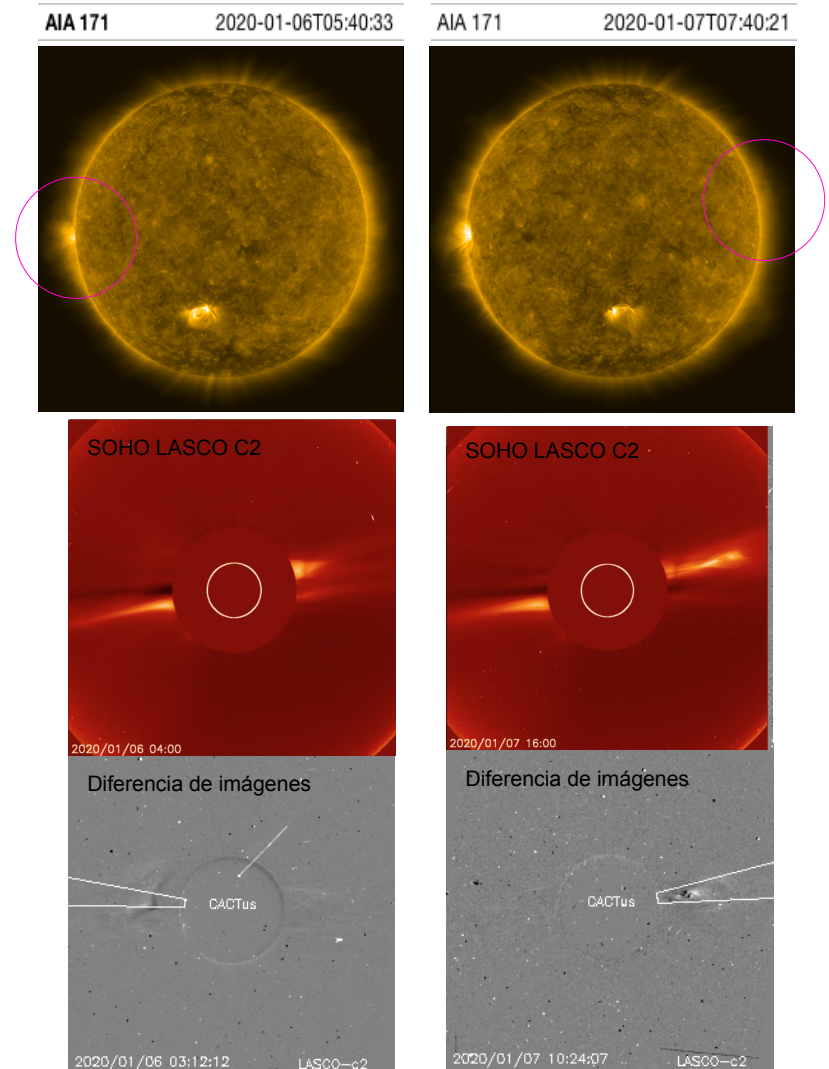
>> Enero 7, 2:00 h⁺

- Eyecciones lentas y colimadas observadas por SOHO/LASCO C2 y C3.
- La dirección de propagación no se encuentran en la dirección Sol-Tierra.
- No se esperan repercusiones severas en el entorno geomagnético.

	6/01	7/01
Velocidad* (km/s)	150	100
Posición angular*	84°	279°
Ancho angular*	10°	12°

(*)Valores estimados sobre la proyección en el plano del cielo y no en la dirección Sol-Tierra.

(+)Tiempo de inicio de la observación.



Crédito imágenes y valores estimados:

SOHO, the Solar & Heliospheric Observatory SDO, Solar Dynamic Observatory CACTus CME catalog. SIDC at the Royal Observatory of Belgium Jhelioviewer, ESA/NASA Helioviewer Project SolarMonitor.org

Cromosfera solar

LANCÉ

Laboratorio Nacional
de Clima Espacial

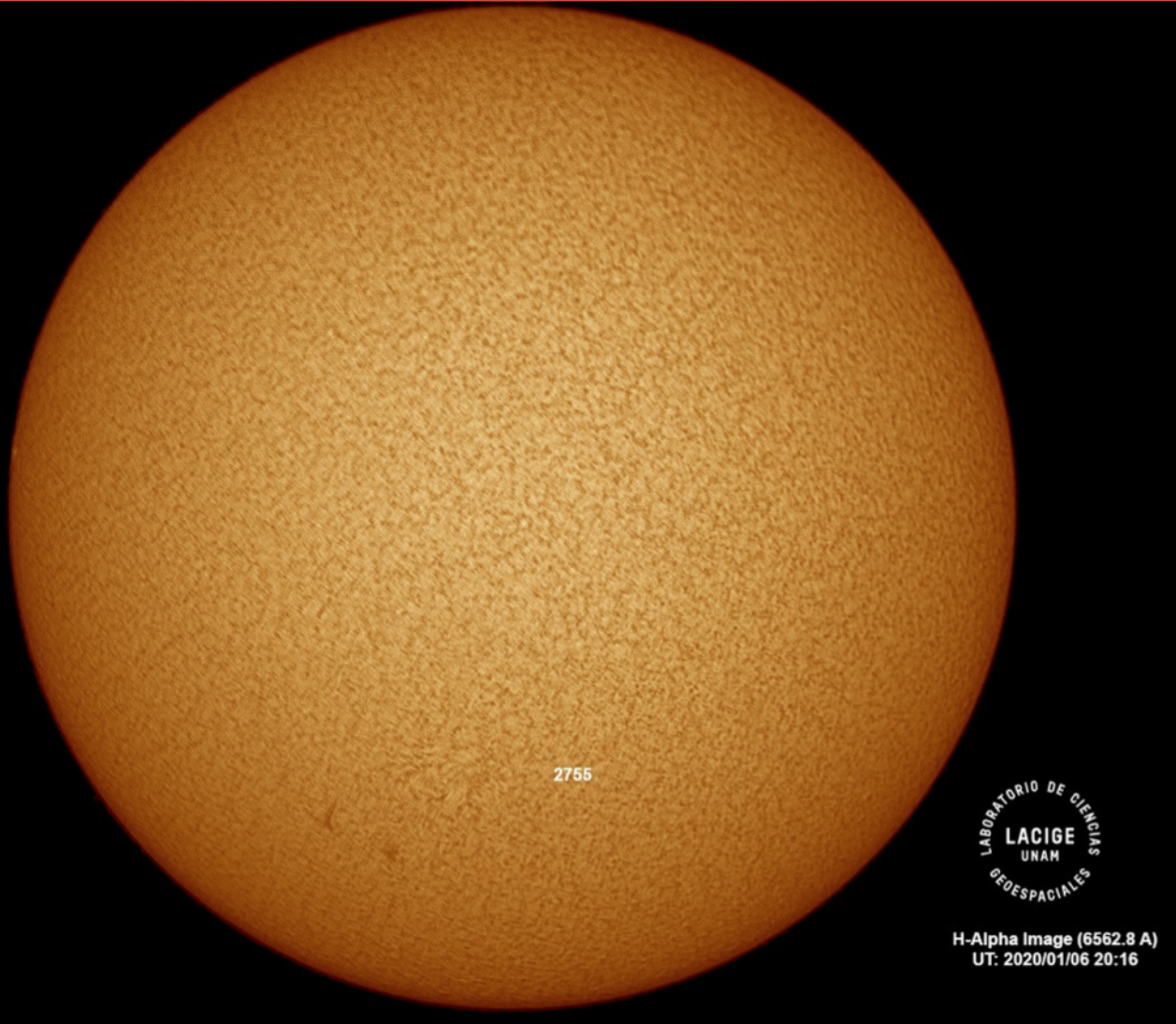


Imagen de la cromosfera solar en H-Alpha (6562.8 \AA) para el día 06/01/2020, 20:16 hrs TU.

Se observó la región activa 2765 para esta fecha.

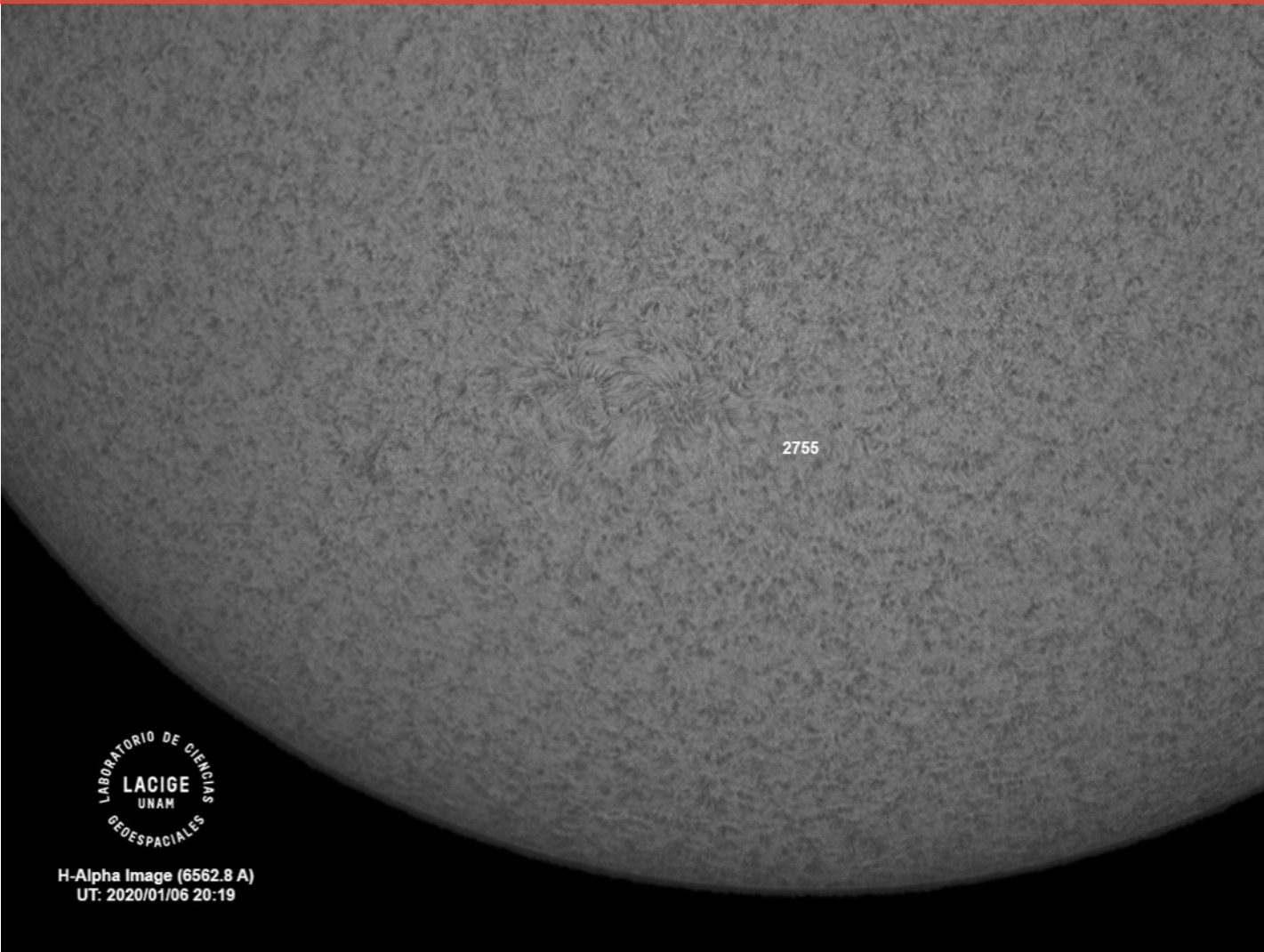
Cromosfera solar

LANCE

Laboratorio Nacional
de Clima Espacial

Imagen de la cromosfera solar en H-Alpha (6562.8 \AA) para el día 06/01/2020, 20:19 hrs TU.

La imagen muestra un acercamiento a la región activa 2765 observada para esta fecha.



2765

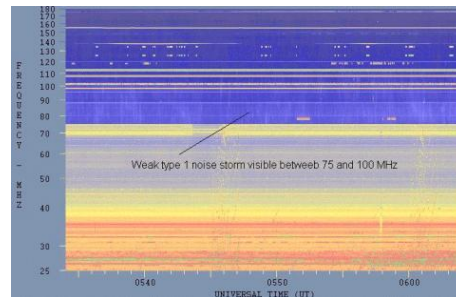
LABORATORIO DE CIENCIAS
LACIGE
UNAM
GEOESPACIALES

H-Alpha Image (6562.8 A)
UT: 2020/01/06 20:19

Tipos de estallidos de radio solares

Tipo I: Estallidos cortos y banda de emisión estrecha. Ocurren en un gran número sobre un continuo de emisión. Duración de 1 s y en tormenta de horas a días.

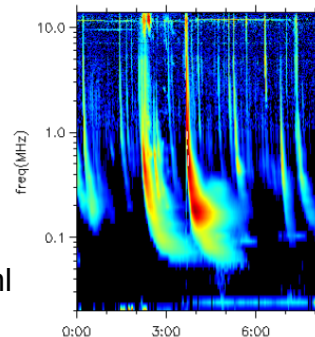
Se asocian con regiones activas, fulguraciones y protuberancias eruptivas



spaceacademy.net.au/env/sol/solradp/solradp.htm

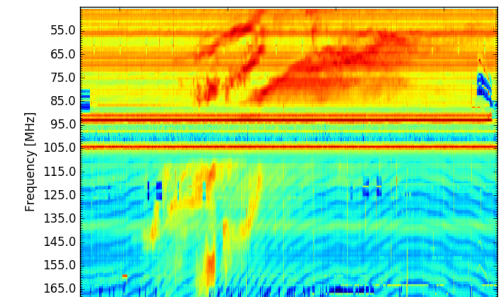
Tipo III: Estallidos de deriva rápida, con duración de pocos segundos en el rango métrico. Tienen anchos de emisión amplios. Son producidos en fulguraciones donde son expulsados a velocidades relativistas.

Se pueden presentar también como tormentas de estallidos.



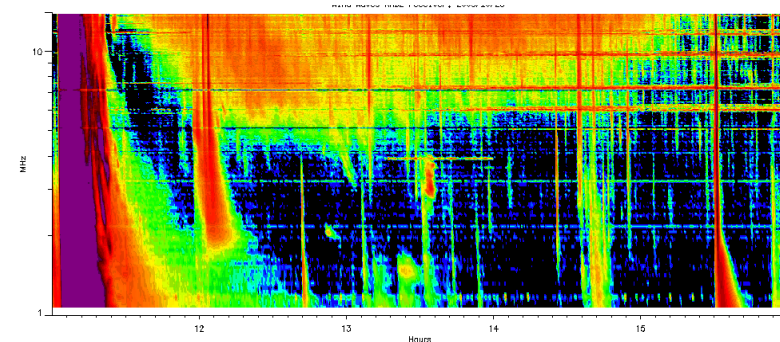
ssed.gsfc.nasa.gov/waves/data_products.html

Tipo II: Estallidos de deriva lenta. Son la firma de ondas de choque, producidas por fulguraciones o EMCs, que se propagan cerca del Sol y medio interplanetario. Presentan anchos de de emisión estrechos que derivan a frecuencias menores.



www.rice.unam.mx/callisto

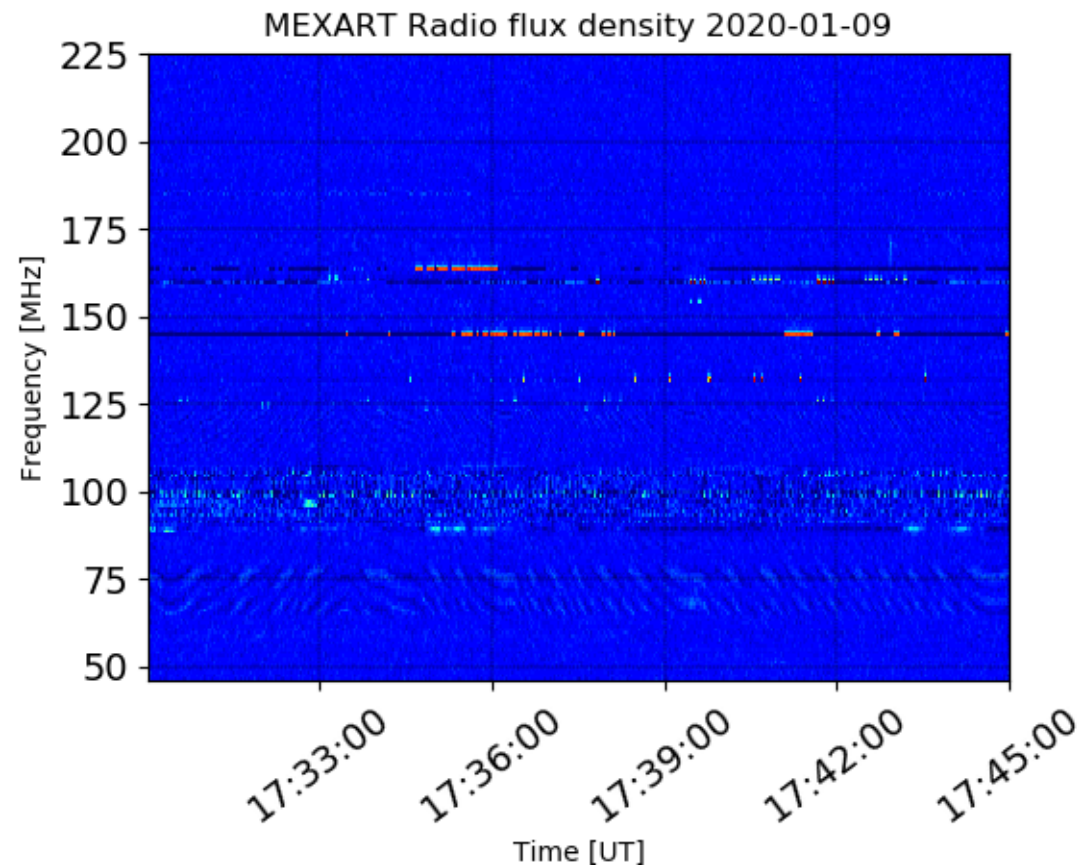
Tipo IV: Se relacionan con fulguraciones, tienen anchos de banda amplios y pueden durar horas.



https://ssed.gsfc.nasa.gov/waves/data_products.html

Estallidos de radio solares: Observaciones de Callisto-MEXART

Callisto-MEXART no detectó eventos esta semana.



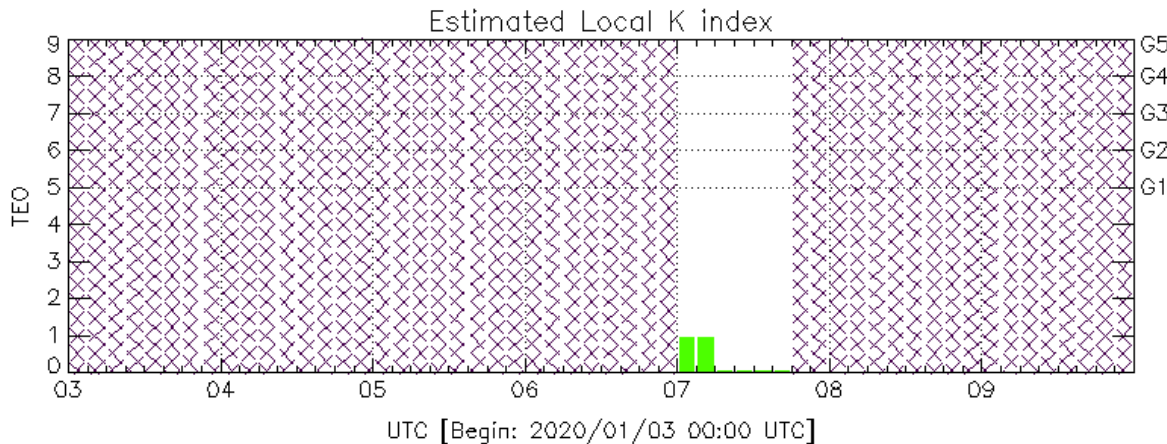
<http://www.rice.unam.mx/callisto/lightcurve/2020/01/>

Perturbaciones geomagnéticas: Índices geomagnéticos Kp y Kmex

Imagen: <http://services.swpc.noaa.gov/images/planetary-k-index.gif>

En términos generales, fue una semana quieta. No se registraron alteraciones significativas en los índices K.

Se ha presentado una interrupción temporal en la transmisión de datos del Observatorio de Teoloyucan.

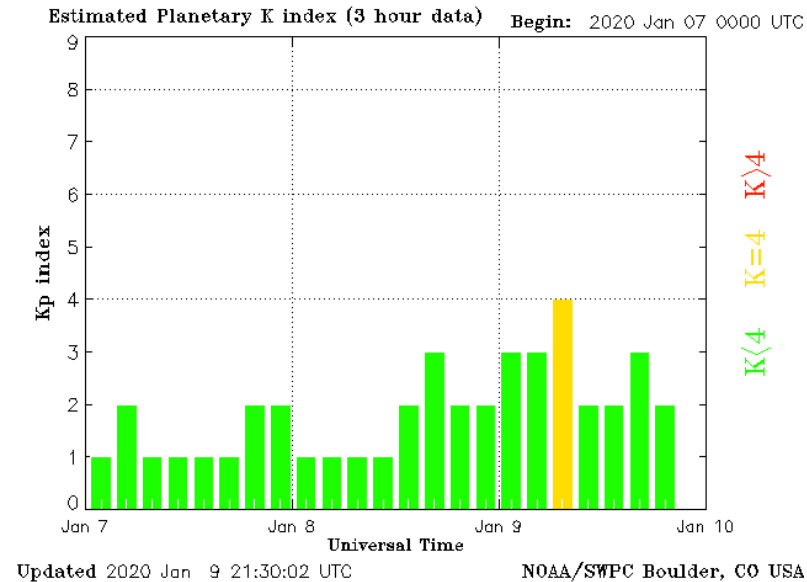


Color Code: ■ quiet, ■ disturbed, ■ storm, XXXX data not available.

TEO: Teoloyucan Geomagnetic Observatory (LAT 19.746, LON -99.193)

LANC/SCIESMEX - Morelia, Mich., MX

Updated: 2020/01/09-21:00 UTC



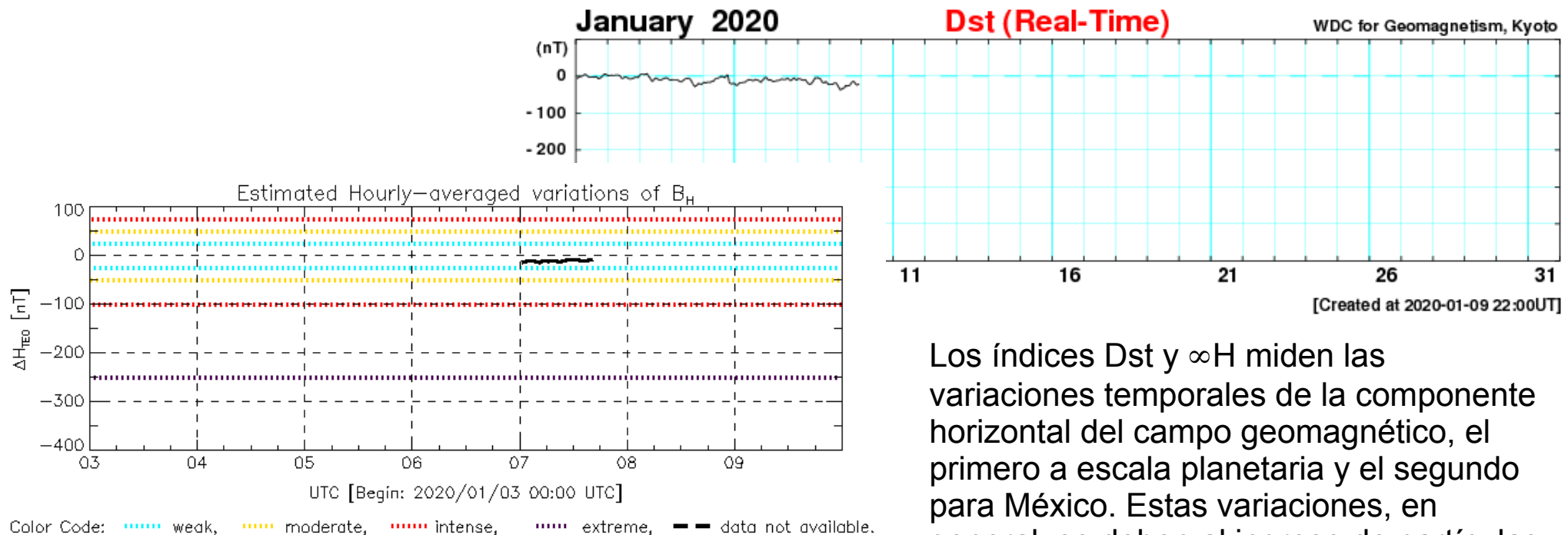
El índice K indica la intensidad de las variaciones del campo magnético terrestre en intervalos de 3 horas. El índice Kp lo expresa a escala planetaria, mientras que el Kmex lo hace para el territorio mexicano.

Perturbaciones geomagnéticas: Índice Dst y ∞H

En términos generales fue una semana quieta; no se registraron alteraciones significativas en los índices Dst y ∞H .

Se ha presentado una interrupción temporal en la transmisión de datos del Observatorio de Teoloyucan.

Imagen: http://wdc.kugi.kyoto-u.ac.jp/dst_realtime/presentmonth/index.html



Los índices Dst y ∞H miden las variaciones temporales de la componente horizontal del campo geomagnético, el primero a escala planetaria y el segundo para México. Estas variaciones, en general, se deben al ingreso de partículas anómalas al ambiente espacial terrestre.

Ionósfera sobre México: TEC en el centro del país (datos locales)

El contenido total de electrones (TEC) es un parámetro que sirve para caracterizar el estado de la ionosfera de la Tierra.

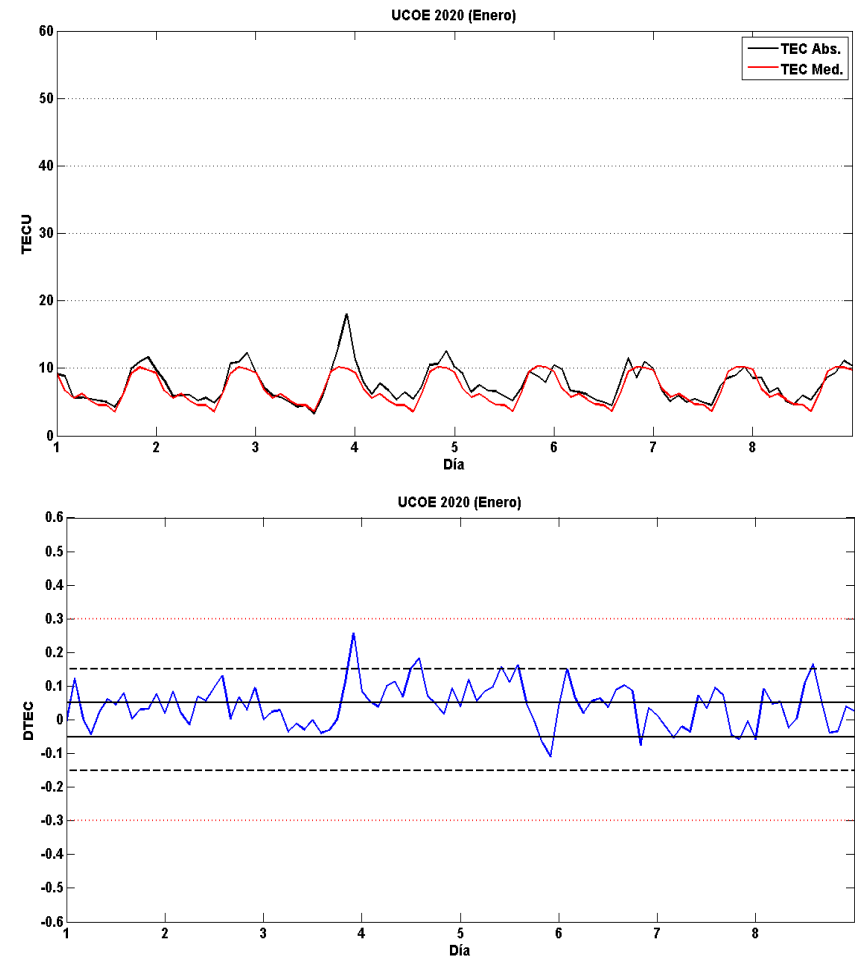
Serie temporal de los valores de TEC (negro) con referencia a su valor mediano (rojo) durante 1.01-8.01.2020 con base en los datos de la estación local UCOE (TLALOCNet, UNAVCO) en las instalaciones del Mexart.

Desviación de TEC de su mediana de los 27 días anteriores al día de observación con base en los datos de la misma estación.

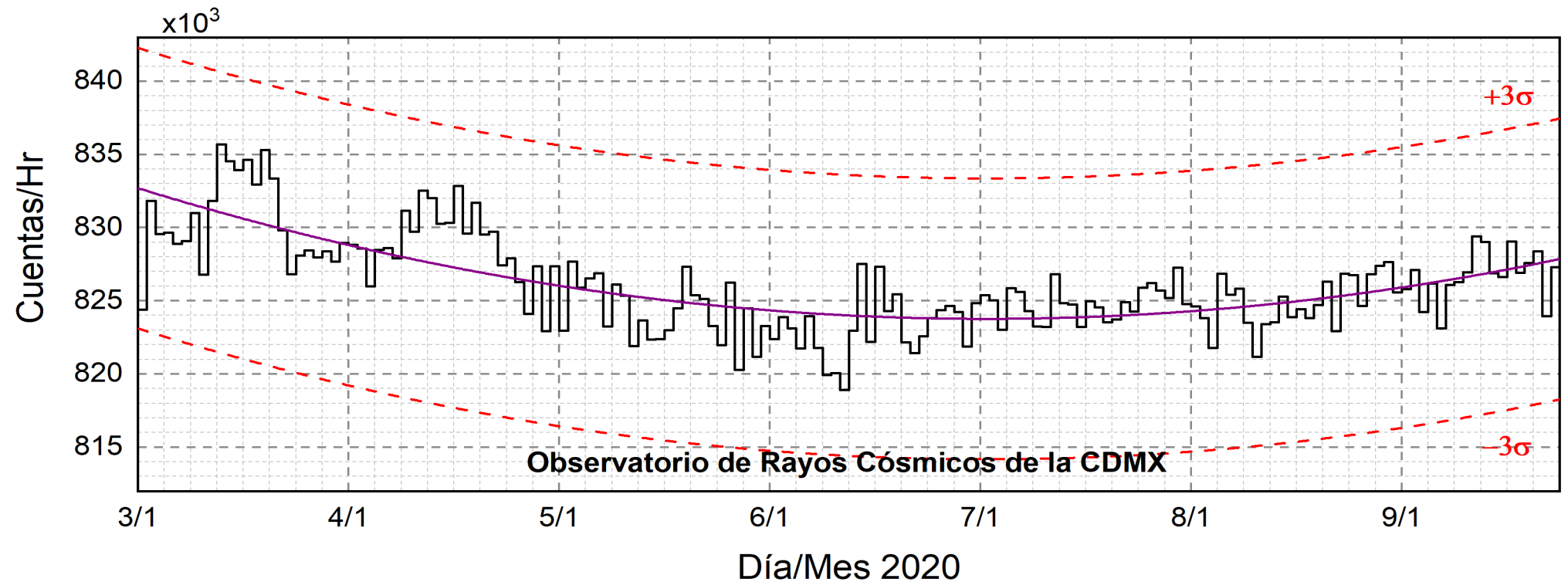
Según los datos locales, no se observaron variaciones significativas de TEC esta semana.

El cálculo se realiza en base de TayAbsTEC software del Instituto de Física Solar-Terrestre, Sección Siberiana de la Academia de Ciencias de Rusia. Referencia: Yasyukevich et al., Influence of GPS/GLONASS Differential Code Biases on the Determination Accuracy of the Absolute Total Electron Content in the Ionosphere, Geomagn. and Aeron., ISSN 0016_7932, 2015.

Referencia: Gulyaeva et al., GIM-TEC adaptive ionospheric weather assessment and forecast system. doi:10.1016/j.jastp.2013.06.011, 2013.



Rayos Cósmicos:



<http://www.cosmicrays.unam.mx/>

Datos del Observatorio de Rayos Cósmicos de la Ciudad de México. La curva púrpura representa el promedio de los datos registrados, las líneas discontinuas rojas representan la significación de los datos (3σ). Cuando se registran variaciones mayores a 3σ , es probable que éstas sean debidas a efectos de emisiones solares en el flujo de rayos cósmicos.

Del 03 al 09 de enero de 2020, no se detectaron incrementos significativos ($>3\sigma$) en las cuentas de rayos cósmicos.

UNAM/LANCE/SCIEMEX

Dr. J. Américo González Esparza

Dr. Pedro Corona Romero

Dra. Maria Sergeeva

Dr. Julio C. Mejía Ambriz

Dr. Luis Xavier González Méndez

Dr. José Juan González-Avilés

Ing. Ernesto Andrade Mascote

M.C. Pablo Villanueva Hernández

Ing. Adán Espinosa Jiménez

Dr. Ernesto Aguilar-Rodríguez

Dra. Verónica Ontiveros

Dra. Tania Oyuki Chang Martínez

Ing. Juan José D'Aquino

M.C. Víctor José Gatica Acevedo

UNAM ENES-Morelia

Dr. Mario Rodríguez Martínez

Dr. Víctor De la Luz Rodríguez

Lic. Aranza Fernández Álvarez del Castillo

UNAM/PCT

Lic. Elizandro Huipe Domratcheva

M.C. Francisco Tapia

M.C. Víctor Hugo Méndez Bedolla

M.C. Elsa Sánchez García

UANL/LANCE

Dr. Eduardo Pérez Tijerina

Dr. Enrique Pérez León

Dr. Carlos de Meneses Junior

Dra. Esmeralda Romero Hernández

UNAM/IGF/RAYOS CÓSMICOS

Dr. José Francisco Valdés Galicia

Fis. Alejandro Hurtado Pizano

Ing. Octavio Musalem Clemente

SERVICIO MAGNÉTICO

M.C. Esteban Hernández Quintero

M.C. Gerardo Cifuentes Nava

Dra. Ana Caccavari Garza

CPCET/SAET-IPN

Ing. Julio C. Villagrán Orihuela

Ing. Reynaldo Vite Sánchez

Alain Mirón Velázquez

Ángel A. Valdovinos Córdoba

Mariana Y. Ortiz Hernández

Valeria García Miguel

Pablo Romero Minchaca

Elaboración: J. Américo González Esparza

Revisión: Ernesto Aguilar Rodríguez

Agradecimientos

El Laboratorio Nacional de Clima Espacial (LANCE) es parcialmente financiado por: el programa Cátedras CONACYT Proyecto 1045 y el Fondo Sectorial AEM-CONACYT proyecto 2014-01-247722. Agradecemos al proyecto Conacyt - Repositorio Institucional de Clima Espacial 268273. Agradecemos a todos los responsables y colaboradores de instrumentos del LANCE y a las redes de estaciones GPS del Servicio Sismológico Nacional y TalocNET por facilitar sus datos. Agradecemos a Gerardo Cifuentes, Esteban Hernández y Ana Caccavari por los datos del Observatorio magnético de Teoloyucan. De igual forma, agradecemos los servicios de IGS (International GNSS Service) por permitirnos usar los datos IONEX disponibles en: <ftp://cddis.gsfc.nasa.gov/pub/gps/products/ionex>. Los valores de TEC fueron obtenidos a partir de observaciones de las redes GPS del Servicio Sismológico Nacional (SSN), SSN-TLALOCNet y TLALOCNet del Servicio de Geodesia Satelital (SGS). Agradecemos al personal del SSN y del SGS por el mantenimiento de estaciones, la adquisición de datos y el soporte de IT de estas redes. Las operaciones de la red TLALOCNet y SSN-TLALOCNet GPS han sido apoyadas por The National Science Foundation bajo el proyecto EAR-1338091 a UNAVCO Inc., los proyectos CONACyT 253760 y 256012 y los proyectos UNAM-PAPIIT IN109315-3 y IN104818-3 de E. Cabral-Cano y el proyecto UNAM-PAPIIT IN111509 de R. Pérez. De igual forma agradecemos a los proyectos de infraestructura del CONACyT: 253691 y del PAPIIT-DGAPA: IA107116 para el fortalecimiento de equipos como la estación fija de GPS, que forman parte del LACIGE-UNAM, de la ENES unidad Morelia a cargo de M. Rodríguez-Martínez. El cálculo de TEC se realiza: 1) utilizando el software US-TEC que es un producto de operación del Space Weather Prediction Center (SWPC), desarrollado a través de una colaboración entre National Geodetic Survey, National Oceanic and Atmospheric Administration (NOAA) y el Cooperative Institute for Research in Environmental Sciences of the University of Boulder, Colorado, 2) con base en el software TayAbsTEC del Instituto de Física Solar-Terrestre, Sección Siberiana de la Academia de Ciencias Rusa. Parte del procesamiento de datos se lleva a cabo dentro del Centro de Supercómputo de Clima Espacial (CESCOM) del LANCE. Así mismo agradecemos al Space Weather Forecasting Center for Astrophysics & Space Research de la University of California in San Diego y al Korean Space Weather Center por los datos de pronóstico para los modelos WSA-ENLIL y los mapas tomográficos por IPS. Agradecemos a la red e-callisto por los datos proporcionados de espectros electromagnéticos dinámicos de la red internacional de registro de evento de radio solares.